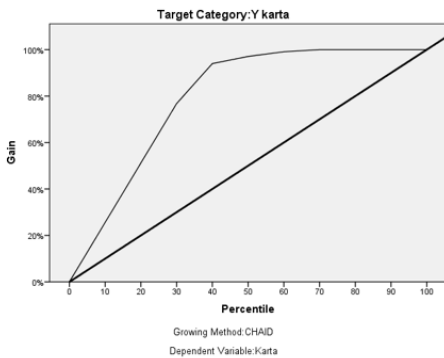


M priedas. Pirkimo etapo charakteristikos

M.1 lentelė. Y kartos duomenų skaičius mazge⁷

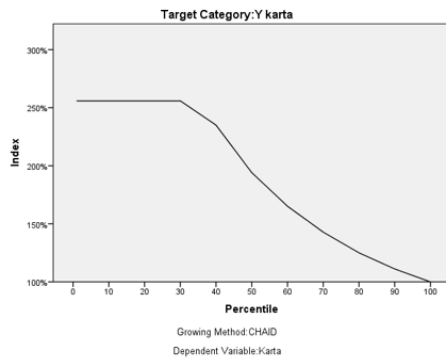
Table M.1. Gains for Nodes of generation Y

| Mazgas | Mazgas | | Gain | | Atsako rodiklis | Indekso rodiklis |
|--------|------------------|---------------------|------------------|---------------------|-----------------|------------------|
| | Duomenų skaičius | Procentinė išraiška | Duomenų skaičius | Procentinė išraiška | | |
| 1 | 2 | 3 | 4 | 5 | 6 | 7 |
| 7 | 27 | 35,5 % | 20 | 90,9 % | 74,1 % | 255,9 % |
| 8 | 5 | 6,6 % | 1 | 4,5 % | 20,0 % | 69,1 % |
| 4 | 17 | 22,4 % | 1 | 4,5 % | 5,9 % | 20,3 % |
| 6 | 14 | 18,4 % | 0 | 0,0 % | 0,0 % | 0,0 % |
| 3 | 13 | 17,1 % | 0 | 0,0 % | 0,0 % | 0,0 % |



M.1 pav. Y kartos kintamojo koeficiento Gain priklausomybės nuo procentilių grafikas

Fig. M.1. Variable coefficient Gain of Y generation dependence from percentiles



M.2 pav. Y kartos kintamojo Indekso priklausomybės nuo procentilių grafikas

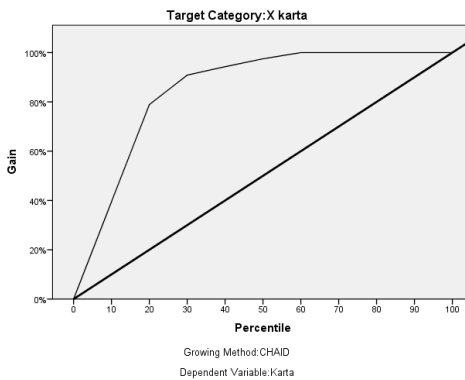
Fig. M.2. The dependence of variable coefficient Index of generation Y on percentiles

⁷ Augimo metodas: CHAID
Priklausomas kintamasis: Karta

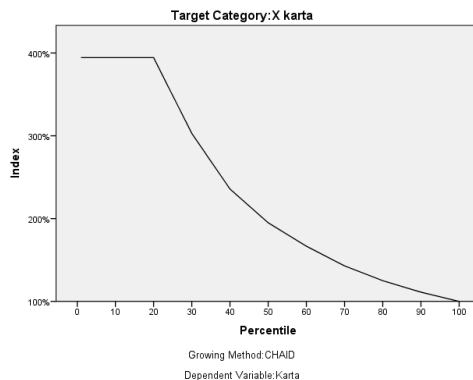
M.2 lentelė. X kartos duomenų skaičius mazge⁸

Table M.2. Gains for Nodes of generation X

| Mazgas | Mazgas | | Gain | | Atsako rodiklis | Indekso rodiklis |
|--------|------------------|---------------------|------------------|---------------------|-----------------|------------------|
| | Duomenų skaičius | Procentinė išraiška | Duomenų skaičius | Procentinė išraiška | | |
| 1 | 2 | 3 | 4 | 5 | 6 | 7 |
| 4 | 17 | 22,4 % | 15 | 88,2 % | 88,2 % | 394,5 % |
| 3 | 13 | 17,1 % | 1 | 5,9 % | 7,7 % | 34,4 % |
| 6 | 14 | 18,4 % | 1 | 5,9 % | 7,1 % | 31,9 % |
| 7 | 27 | 35,5 % | 0 | 0,0 % | 0,0 % | 0,0 % |
| 8 | 5 | 6,6 % | 0 | 0,0 % | 0,0 % | 0,0 % |



M.3 pav. X kartos kintamojo koeficiento Gain priklausomybės nuo procentilių grafikas
Fig. M.3. The graph of X generation variable coefficient Gain dependence from percentiles



M.4 pav. X kartos kintamojo Indekso priklausomybės nuo procentilių grafikas
Fig. M.4. The dependence of variable coefficient Index of generation X on percentiles

⁸ Augimo metodas: CHAID
 Priklausomas kintamasis: Karta

M.3 lentelė. Kūdikių bumo kartos duomenų skaičius mazge⁹**Table M.3.** Gains for Nodes of generation baby boomers

| Mazgas | Mazgas | | Gain | | Atsako rodiklis | Indekso rodiklis |
|--------|------------------|---------------------|------------------|---------------------|-----------------|------------------|
| | Duomenų skaičius | Procentinė išraiška | Duomenų skaičius | Procentinė išraiška | | |
| 1 | 2 | 3 | 4 | 5 | 6 | 7 |
| 6 | 14 | 18,4 % | 12 | 66,7 % | 85,7 % | 361,9 % |
| 8 | 5 | 6,6 % | 4 | 22,2 % | 80,0 % | 337,8 % |
| 3 | 13 | 17,1 % | 1 | 5,6 % | 7,7 % | 32,5 % |
| 7 | 27 | 35,5 % | 1 | 5,6 % | 3,7 % | 15,6 % |
| 4 | 17 | 22,4 % | 0 | 0,0 % | 0,0 % | 0,0 % |

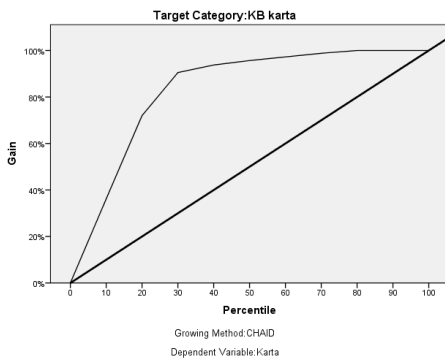
**M.5 pav.** Kūdikių bumo kartos kintamojo koeficiento Gain priklausomybės nuo procentilių grafikas

Fig. M.5. The graph of Baby boomers generation variable coefficient Gain dependence from percentiles

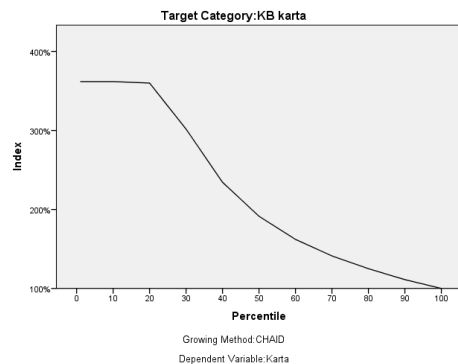
**M.6 pav.** Kūdikių bumo kartos kintamojo Indekso priklausomybės nuo procentilių grafikas

Fig. M.6. The dependence of variable coefficient Index of generation Bay Boomers on percentiles

⁹ Augimo metodas: CHAID
Priklausomas kintamasis: Karta

M.4 lentelė. Modelio klasifikacija**Table M.4.** Classification of model

| Tirti kintamieji | Numatytieji kintamieji | | | | |
|-----------------------|------------------------|---------|---------|----------|------------------|
| | Z karta | Y karta | X karta | KB karta | Teisingai, proc. |
| Z karta | 11 | 6 | 1 | 1 | 57,9 % |
| Y karta | 0 | 20 | 1 | 1 | 90,9 % |
| X karta | 1 | 0 | 15 | 1 | 88,2 % |
| KB karta | 1 | 1 | 0 | 16 | 88,9 % |
| Bendra proc. išraiška | 17, 1% | 35,5 % | 22,4 % | 25,0 % | 81,6 % |

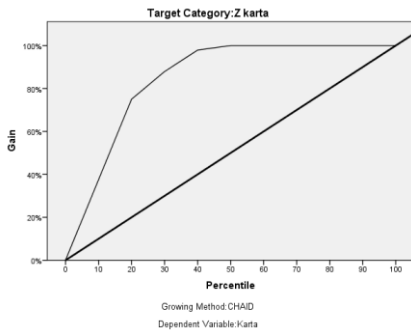
M.5 lentelė. Pirkimo etapo internetinio marketingo komunikacijos priemonių kartų preferencijų struktūros, ieškant vietinėje e. komercijos svetainėje, CHAID modelio specifikacijų ir rezultatų apibendrinimas

Table M.5. The summary of CHAID model specifications and results of different cohorts' preferences for internet marketing communication tools preferences in purchasing stage while searching in a local e-commerce website

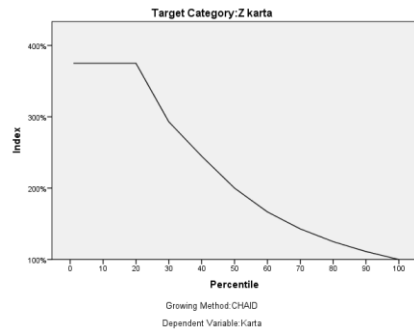
| Dalis | Charakteristika | Sprendimų medžio duomenys |
|--------------------|------------------------------------|---|
| Sudarymo nuostatos | Augimo metodas | CHAID |
| | Priklausomas kintamasis | Karta |
| | Nepriklausomi kintamieji | IPS1, IPS2, SF, MZ, TEKS1, TEKS2, TEKS3, TEKS4, TEKS5, TEKS6, TEKS7, TEKS8, TEKS9, TEKS10, TEKS11, TEKS12, TEKS13, TEKS14, TEKS15, EP, KM, DUK, TNK, SM |
| | Validacija | Kryžminė validacija |
| | Maksimalus medžio gylis | 3 |
| | Minimali pagrindinių mazgų reikšmė | 10 |
| | Minimali atžalų mazgų reikšmė | 5 |
| Rezultatai | Įtraukti nepriklausomi kintamieji | TEKS5, SF, TEKS2, TEKS10 |
| | Mazgų skaičius | 9 |
| | Galinių mazgų skaičius | 5 |
| | Gylis | 3 |

M.6 lentelė. Z kartos duomenų skaičius mazge
Table M.6. Gains for Nodes of generation Z

| Mazgas | Mazgas | | Gain rodiklis | | Atsako rodiklis | Indekso rodiklis |
|--------|------------------|---------------------|------------------|---------------------|-----------------|------------------|
| | Duomenų skaičius | Procentinė išraiška | Duomenų skaičius | Procentinė išraiška | | |
| 1 | 2 | 3 | 4 | 5 | 6 | 7 |
| 6 | 16 | 21,1 % | 15 | 78,9 % | 93,8 % | 375,0 % |
| 5 | 16 | 21,1 % | 4 | 21,1 % | 25,0 % | 100,0 % |
| 7 | 21 | 27,6 % | 0 | 0,0 % | 0,0 % | 0,0 % |
| 8 | 17 | 22,4 % | 0 | 0,0 % | 0,0 % | 0,0 % |
| 4 | 6 | 7,9 % | 0 | 0,0 % | 0,0 % | 0,0 % |



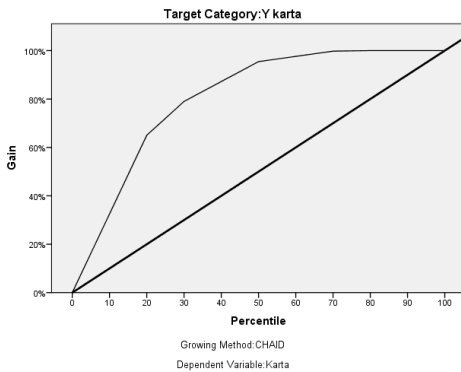
M.7 pav. Z kartos kintamojo koeficiento Gain priklausomybės nuo procentilių grafikas
Fig. M.7. The dependence of variable coefficient Gain of generation Z on percentiles



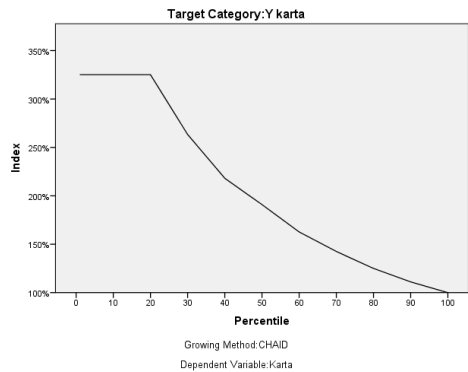
M.8 pav. Z kartos kintamojo Indekso priklausomybės nuo procentilių grafikas
Fig. M.8. The dependence of variable coefficient Index of generation Z on percentiles

M.7 lentelė. Y kartos duomenų skaičius mazge¹⁰
Table M.7. Gains for Nodes of generation Y

| Mazgas | Mazgas | | Gain rodiklis | | Atsako rodiklis | Indekso rodiklis |
|--------|------------------|---------------------|------------------|---------------------|-----------------|------------------|
| | Duomenų skaičius | Procentinė išraiška | Duomenų skaičius | Procentinė išraiška | | |
| 1 | 2 | 3 | 4 | 5 | 6 | 7 |
| 8 | 17 | 22,4 % | 16 | 72,7 % | 94,1 % | 325,1 % |
| 7 | 21 | 27,6 % | 5 | 22,7 % | 23,8 % | 82,3 % |
| 5 | 16 | 21,1 % | 1 | 4,5 % | 6,2 % | 21,6 % |
| 6 | 16 | 21,1 % | 0 | 0,0 % | 0,0 % | 0,0 % |
| 4 | 6 | 7,9 % | 0 | 0,0 % | 0,0 % | 0,0 % |



M.9 pav. Y kartos kintamojo koeficiento Gain priklausomybės nuo procentilių grafikas
Fig. M.9. The dependence of variable coefficient Gain of generation Y on percentiles

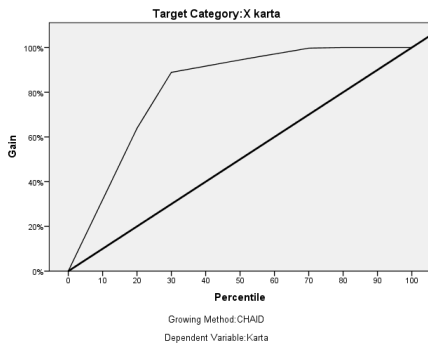
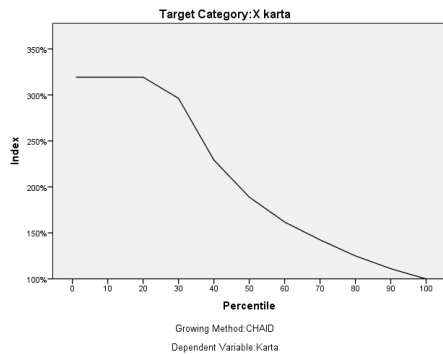


M.10 pav. Y kartos kintamojo Indekso priklausomybės nuo procentilių grafikas
Fig. M.10. The dependence of variable coefficient Index of generation Y on percentiles

¹⁰ Augimo metodas: CHAID
 Priklausomas kintamasis: Karta

M.8 lentelė. X kartos duomenų skaičius mazge¹¹**Table M.8.** Gains for Nodes of generation X

| Mazgas | Mazgas | | Gain rodiklis | | Atsako rodiklis | Indekso rodiklis |
|--------|------------------|---------------------|------------------|---------------------|-----------------|------------------|
| | Duomenų skaičius | Procentinė išraiška | Duomenų skaičius | Procentinė išraiška | | |
| 1 | 2 | 3 | 4 | 5 | 6 | 7 |
| 7 | 21 | 27,6 % | 15 | 88,2 % | 71,4 % | 319,3 % |
| 5 | 16 | 21,1 % | 1 | 5,9 % | 6,2 % | 27,9 % |
| 8 | 17 | 22,4 % | 1 | 5,9 % | 5,9 % | 26,3 % |
| 6 | 16 | 21,1 % | 0 | 0,0 % | 0,0 % | 0,0 % |
| 4 | 6 | 7,9 % | 0 | 0,0 % | 0,0 % | 0,0 % |

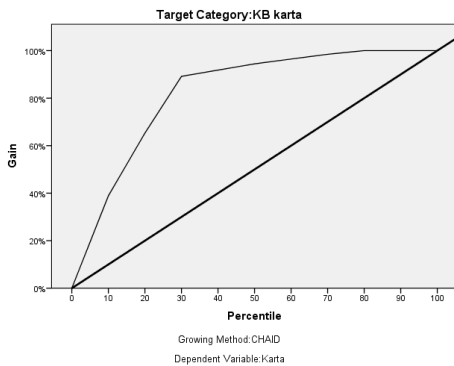
**M.11 pav.** X kartos kintamojo koeficiento Gain priklausomybės nuo procentilių grafikas**Fig. M.11.** The dependence of variable coefficient Gain of generation X on percentiles**M.12 pav.** X kartos kintamojo Indekso priklausomybės nuo procentilių grafikas**Fig. M.12.** The dependence of variable coefficient Index of generation X on percentiles

¹¹ Augimo metodas: CHAID
Priklausomas kintamasis: Karta

M.9 lentelė. Kūdikių bumo kartos duomenų skaičius mazge¹²

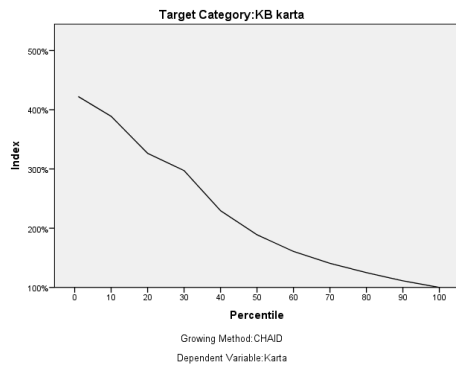
Table M.9. Gains for Nodes of generation Baby boomers

| Mazgas | Mazgas | | Gain rodiklis | | Atsako rodiklis | Indekso rodiklis |
|--------|------------------|---------------------|------------------|---------------------|-----------------|------------------|
| | Duomenų skaičius | Procentinė išraiška | Duomenų skaičius | Procentinė išraiška | | |
| 1 | 2 | 3 | 4 | 5 | 6 | 7 |
| 4 | 6 | 7,9 % | 6 | 33,3 % | 100,0 % | 422,2 % |
| 5 | 16 | 21,1 % | 10 | 55,6 % | 62,5 % | 263,9 % |
| 6 | 16 | 21,1 % | 1 | 5,6 % | 6,2 % | 26,4 % |
| 7 | 21 | 27,6 % | 1 | 5,6 % | 4,8 % | 20,1 % |
| 8 | 17 | 22,4 % | 0 | 0,0 % | 0,0 % | 0,0 % |



M.13 pav. Kūdikių bumo kartos kintamojo koeficiento Gain priklausomybės nuo procentilių grafikas

Fig. M.13. The dependence of variable coefficient Gain of generation Baby Boomers on percentiles



M.14 pav. Kūdikių bumo kartos kintamojo Indekso priklausomybės nuo procentilių grafikas

Fig. M.14. The dependence of variable coefficient Index of generation Baby Boomers on percentiles

¹² Augimo metodas: CHAID
Priklausomas kintamasis: Karta

M.10 lentelė. Modelio klasifikacija**Table M.10.** Classification of model

| Tirti kintamieji | Numatytieji kintamieji | | | | |
|-----------------------|------------------------|---------|---------|----------|------------------|
| | Z karta | Y karta | X karta | KB karta | Teisingai, proc. |
| 1 | 2 | 3 | 4 | 5 | 6 |
| Z karta | 15 | 0 | 0 | 4 | 78,9 % |
| Y karta | 0 | 16 | 5 | 1 | 72,7 % |
| X karta | 0 | 1 | 15 | 1 | 88,2 % |
| KB karta | 1 | 0 | 1 | 16 | 88,9 % |
| Bendra proc. išraiška | 21,1 % | 22,4 % | 27,6 % | 28,9 % | 81,6 % |

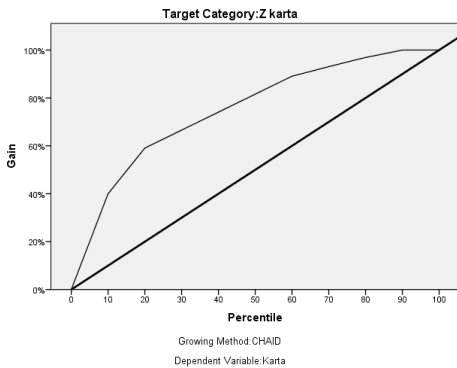
M.11 lentelė. Pirkimo etapo internetinio marketingo komunikacijos priemonių kartų preferencijų struktūros naršant užsienio e. komercijos svetainėje, CHAID modelio specifikacijų ir rezultatų apibendrinimas

Table M.11. The summary of CHAID model specifications and results of different cohorts' preferences for internet marketing communication tools preferences in purchasing stage while browsing in a foreign e-commerce website

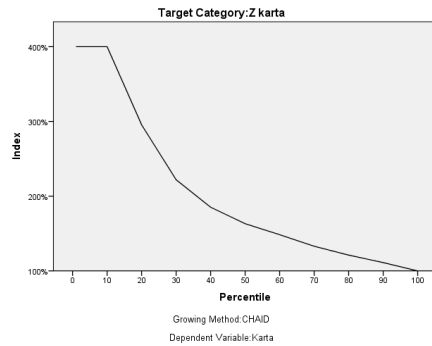
| Dalis | Charakteristika | Sprendimų medžio duomenys |
|--------------------|------------------------------------|--|
| 1 | 2 | 3 |
| Sudarymo nuostatos | Augimo metodas | CHAID |
| | Priklausomas kintamasis | Karta |
| | Nepriklausomi kintamieji | IPS1, IPS2, TEKS1, TEKS2, TEKS3, TEKS4, TEKS5, TEKS6, TEKS7, TEKS8, TEKS9, TEKS10, TEKS11, TEKS12, TEKS13, TEKS14, TEKS15, EP, KM, DUK, SM |
| | Validacija | Kryžminė validacija |
| | Maksimalus medžio gylis | 3 |
| | Minimali pagrindinių mazgų reikšmė | 10 |
| | Minimali atžalų mazgų reikšmė | 5 |
| Rezultatai | Įtraukti nepriklausomi kintamieji | IPS2, DUK, TEKS2, SM |
| | Mazgų skaičius | 9 |
| | Galinių mazgų skaičius | 5 |
| | Gylis | 3 |

M.12 lentelė. Z kartos duomenų skaičius mazge¹³
Table M.12. Gains for Nodes of generation Z

| Mazgas | Mazgas | | Gain rodiklis | | Atsako rodiklis | Indekso rodiklis |
|--------|------------------|---------------------|------------------|---------------------|-----------------|------------------|
| | Duomenų skaičius | Procentinė išraiška | Duomenų skaičius | Procentinė išraiška | | |
| 1 | 2 | 3 | 4 | 5 | 6 | 7 |
| 8 | 9 | 11,8 % | 9 | 47,4 % | 100,0 % | 400,0 % |
| 6 | 5 | 6,6 % | 2 | 10,5 % | 40,0 % | 160,0 % |
| 7 | 32 | 42,1 % | 6 | 31,6 % | 18,8 % | 75,0 % |
| 5 | 21 | 27,6 % | 2 | 10,5 % | 9,5 % | 38,1 % |
| 3 | 9 | 11,8 % | 0 | 0,0 % | 0,0 % | 0,0 % |



M.15 pav. Z kartos kintamojo koeficiento Gain priklausomybės nuo procentilių grafikas
Fig. M.15. The dependence of variable coefficient Gain of generation Z on percentiles



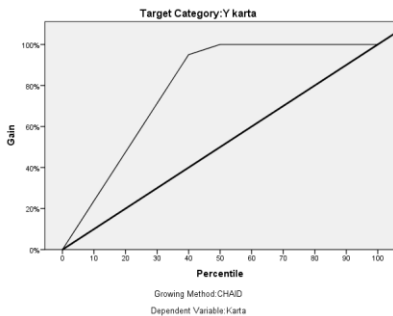
M.16 pav. Z kartos kintamojo Indekso priklausomybės nuo procentilių grafikas
Fig. M.16. The dependence of variable coefficient Index of generation Z on percentiles

¹³ Augimo metodas: CHAID
 Priklausomas kintamasis: Karta

M.13 lentelė. Y kartos duomenų skaičius mazge¹⁴

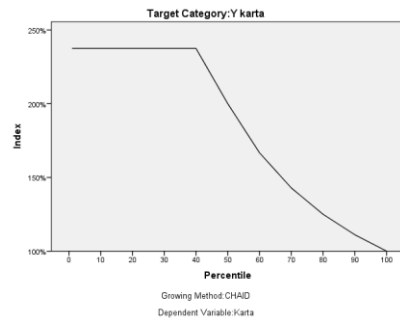
Table M.13. Gains for Nodes of generation Y

| Mazgas | Mazgas | | Gain rodiklis | | Atsako rodiklis | Indekso rodiklis |
|--------|------------------|---------------------|------------------|---------------------|-----------------|------------------|
| | Duomenų skaičius | Procentinė išraiška | Duomenų skaičius | Procentinė išraiška | | |
| 1 | 2 | 3 | 4 | 5 | 6 | 7 |
| 7 | 32 | 42,1 % | 22 | 100,0 % | 68,8 % | 237,5 % |
| 5 | 21 | 27,6 % | 0 | 0,0 % | 0,0 % | 0,0 % |
| 3 | 9 | 11,8 % | 0 | 0,0 % | 0,0 % | 0,0 % |
| 8 | 9 | 11,8 % | 0 | 0,0 % | 0,0 % | 0,0 % |
| 6 | 5 | 6,6 % | 0 | 0,0 % | 0,0 % | 0,0 % |



M.17 pav. Y kartos kintamojo koeficiento Gain priklausomybės nuo procentilių grafikas

Fig. M.17. The dependence of variable coefficient Gain of generation Y on percentiles



M.18 pav. Y kartos kintamojo Indekso priklausomybės nuo procentilių grafikas

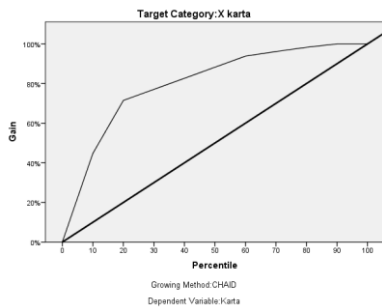
Fig. M.18. The dependence of variable coefficient Index of generation Y on percentiles

¹⁴ Augimo metodas: CHAID
Priklausomas kintamasis: Karta

M.14 lentelė. X kartos duomenų skaičius mazge¹⁵

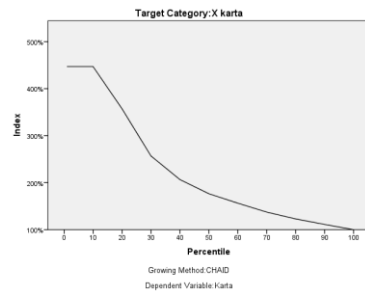
Table M.14. Gains for Nodes of generation X

| Mazgas | Mazgas | | Gain rodiklis | | Atsako rodiklis | Indekso rodiklis |
|--------|------------------|---------------------|------------------|---------------------|-----------------|------------------|
| | Duomenų skaičius | Procentinė išraiška | Duomenų skaičius | Procentinė išraiška | | |
| 1 | 2 | 3 | 4 | 5 | 6 | 7 |
| 3 | 9 | 11,8 % | 9 | 52,9 % | 100,0 % | 447,1 % |
| 6 | 5 | 6,6 % | 3 | 17,6 % | 60,0 % | 268,2 % |
| 7 | 32 | 42,1 % | 4 | 23,5 % | 12,5 % | 55,9 % |
| 5 | 21 | 27,6 % | 1 | 5,9 % | 4,8 % | 21,3 % |
| 8 | 9 | 11,8 % | 0 | 0,0 % | 0,0 % | 0,0 % |



M.19 pav. X kartos kintamojo koeficiento Gain priklausomybės nuo procentilių grafikas

Fig. M.19. The dependence of variable coefficient Gain of generation X on percentiles



M.20 pav. X kartos kintamojo Indekso priklausomybės nuo procentilių grafikas

Fig. M.20. The dependence of variable coefficient Index of generation X on percentiles

¹⁵ Augimo metodas: CHAID
Priklausomas kintamasis: Karta

M.15 lentelė. Kūdikių bumo kartos duomenų skaičius mazge¹⁶**Table M.15.** Gains for Nodes of generation baby boomers

| Mazgas | Mazgas | | Gain rodiklis | | Atsako rodiklis | Indekso rodiklis |
|--------|------------------|---------------------|------------------|---------------------|-----------------|------------------|
| | Duomenų skaičius | Procentinė išraiška | Duomenų skaičius | Procentinė išraiška | | |
| 1 | 2 | 3 | 4 | 5 | 6 | 7 |
| 5 | 21 | 27,6 % | 18 | 100,0 % | 85,7 % | 361,9 % |
| 7 | 32 | 42,1 % | 0 | 0,0 % | 0,0 % | 0,0 % |
| 3 | 9 | 11,8 % | 0 | 0,0 % | 0,0 % | 0,0 % |
| 8 | 9 | 11,8 % | 0 | 0,0 % | 0,0 % | 0,0 % |
| 6 | 5 | 6,6 % | 0 | 0,0 % | 0,0 % | 0,0 % |

M.16 lentelė. Modelio klasifikacija**Table M.16.** Classification of model

| Tirti kintamieji | Numatytieji kintamieji | | | | |
|----------------------------|------------------------|---------|---------|----------|------------------|
| | Z karta | Y karta | X karta | KB karta | Teisingai, proc. |
| 1 | 2 | 3 | 4 | 5 | 6 |
| Z karta | 9 | 6 | 2 | 2 | 47,4 % |
| Y karta | 0 | 22 | 0 | 0 | 100,0 % |
| X karta | 0 | 4 | 12 | 1 | 70,6 % |
| KB karta | 0 | 0 | 0 | 18 | 100,0 % |
| Bendra procentinė išraiška | 11,8 % | 42,1 % | 18,4 % | 27,6 % | 80,3 % |

¹⁶ Augimo metodas: CHAID

Priklausomas kintamasis: Karta

M.17 lentelė. Pirkimo etapo internetinio marketingo komunikacijos priemonių kartu preferencijų struktūros, vykdant paiešką, užsienio e. komercijos svetainėje, CHAID modelio specifikacijų ir rezultatų apibendrinimas

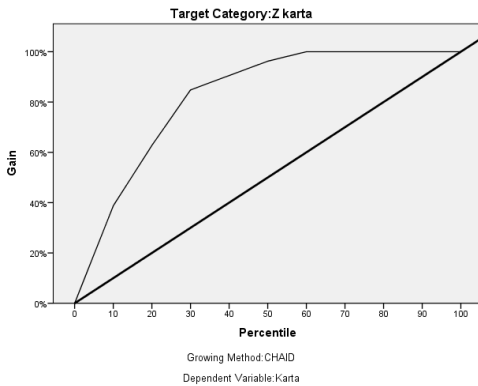
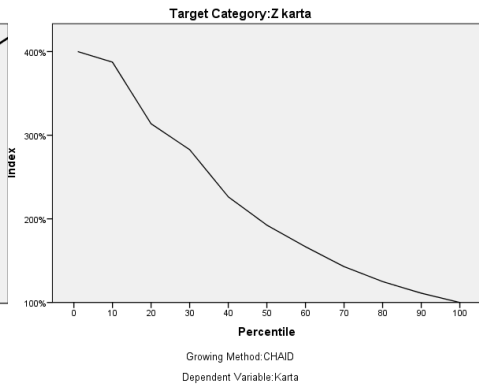
Table M.17. The summary of CHAID model specifications and results of different cohorts' preferences for internet marketing communication tools preferences in purchasing stage while searching in a foreign e-commerce website

| Dalis | Charakteristika | Sprendimų medžio duomenys |
|--------------------|--|--|
| 1 | 2 | 3 |
| Sudarymo nuostatos | Augimo metodas | CHAID |
| | Priklausomas kintamasis | Karta |
| | Nepriklausomi kintamieji ¹⁷ | IPS1, IPS2, TEKS1, TEKS2, TEKS3, TEKS4, TEKS5, TEKS6, TEKS7, TEKS8, TEKS9, TEKS10, TEKS11, TEKS12, TEKS13, TEKS14, TEKS15, EP, KM, DUK, SM |
| | Validacija | Kryžminė validacija |
| | Maksimalus medžio gylis | 3 |
| | Minimali pagrindinių mazgų reikšmė | 10 |
| | Minimali atžalų mazgų reikšmė | 5 |
| Rezultatai | Įtraukti nepriklausomi kintamieji | SM, IPS2, TEKS12, TEKS11 |
| | Mazgų skaičius | 11 |
| | Galinių mazgų skaičius | 6 |
| | Gylis | 3 |

¹⁷ Nepriklausomų kintamųjų akronimų paaiškinimas pateiktas 2.4 lentelėje.

M.18 lentelė. Z kartos duomenų skaičius mazge¹⁸**Table M.18.** Gains for Nodes of generation Z

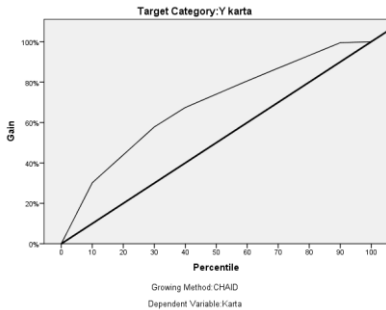
| Mazgas | Mazgas | | Gain rodiklis | | Atsako rodiklis | Indekso rodiklis |
|--------|------------------|---------------------|------------------|---------------------|-----------------|------------------|
| | Duomenų skaičius | Procentinė išraiška | Duomenų skaičius | Procentinė išraiška | | |
| 1 | 2 | 3 | 4 | 5 | 6 | 7 |
| 10 | 7 | 9,2 % | 7 | 36,8 % | 100,0 % | 400,0 % |
| 9 | 15 | 19,7 % | 9 | 47,4 % | 60,0 % | 240,0 % |
| 3 | 21 | 27,6 % | 3 | 15,8 % | 14,3 % | 57,1 % |
| 7 | 22 | 28,9 % | 0 | 0,0 % | 0,0 % | 0,0 % |
| 6 | 6 | 7,9 % | 0 | 0,0 % | 0,0 % | 0,0 % |
| 8 | 5 | 6,6 % | 0 | 0,0 % | 0,0 % | 0,0 % |

**M.21 pav.** Z kartos kintamojo koeficiento Gain priklausomybės nuo procentilių grafikas**Fig. M.21.** The dependence of variable coefficient Gain of generation Z on percentiles**M.22 pav.** Z kartos kintamojo Indekso priklausomybės nuo procentilių grafikas**Fig. M.22.** The dependence of variable coefficient Index of generation Z on percentiles

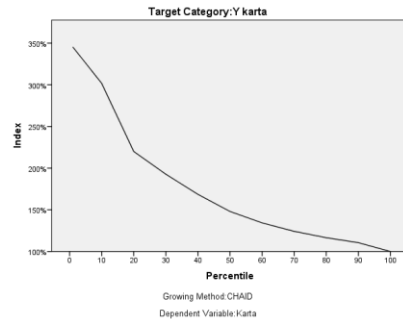
¹⁸ Augimo metodas: CHAID
Priklausomas kintamasis: Karta

M.19 lentelė. Y kartos duomenų skaičius mazge¹⁹
Table M.19. Gains for Nodes of generation Y

| Mazgas | Mazgas | | Gain rodiklis | | Atsako rodiklis | Indekso rodiklis |
|--------|------------------|---------------------|------------------|---------------------|-----------------|------------------|
| | Duomenų skaičius | Procentinė išraiška | Duomenų skaičius | Procentinė išraiška | | |
| 1 | 2 | 3 | 4 | 5 | 6 | 7 |
| 6 | 6 | 7,9 % | 6 | 27,3 % | 100,0 % | 345,5 % |
| 9 | 15 | 19,7 % | 6 | 27,3 % | 40,0 % | 138,2 % |
| 8 | 5 | 6,6 % | 2 | 9,1 % | 40,0 % | 138,2 % |
| 3 | 21 | 27,6 % | 4 | 18,2 % | 19,0 % | 65,8 % |
| 7 | 22 | 28,9 % | 4 | 18,2 % | 18,2 % | 62,8 % |
| 10 | 7 | 9,2 % | 0 | 0,0 % | 0,0 % | 0,0 % |



M.23 pav. Y kartos kintamojo koeficiento Gain priklausomybės nuo procentilių grafikas
Fig. M.23. The dependence of variable coefficient Gain of generation Y on percentiles

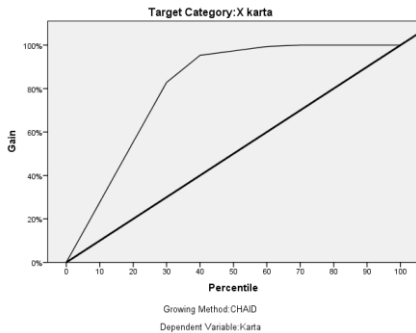


M.24 pav. Y kartos kintamojo Indekso priklausomybės nuo procentilių grafikas
Fig. M.24. The dependence of variable coefficient Index of generation Y on percentiles

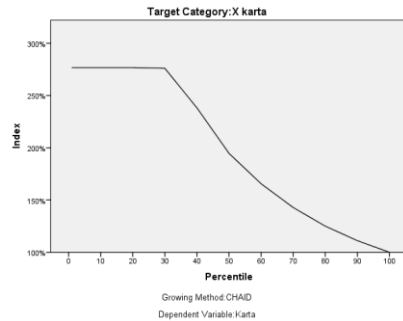
¹⁹ Augimo metodas: CHAID
 Priklausomas kintamasis: Karta

M.20 lentelė. X kartos duomenų skaičius mazge²⁰**Table M.20.** Gains for Nodes of generation X

| Mazgas | Mazgas | | Gain rodiklis | | Atsako rodiklis | Indekso rodiklis |
|--------|------------------|---------------------|------------------|---------------------|-----------------|------------------|
| | Duomenų skaičius | Procentinė išraiška | Duomenų skaičius | Procentinė išraiška | | |
| 1 | 2 | 3 | 4 | 5 | 6 | 7 |
| 3 | 21 | 27,6 % | 13 | 76,5 % | 61,9 % | 276,8 % |
| 8 | 5 | 6,6 % | 3 | 17,6 % | 60,0 % | 268,2 % |
| 7 | 22 | 28,9 % | 1 | 5,9 % | 4,5 % | 20,3 % |
| 9 | 15 | 19,7 % | 0 | 0,0 % | 0,0 % | 0,0 % |
| 10 | 7 | 9,2 % | 0 | 0,0 % | 0,0 % | 0,0 % |
| 6 | 6 | 7,9 % | 0 | 0,0 % | 0,0 % | 0,0 % |



M.25 pav. X kartos kintamojo koeficiento Gain priklausomybės nuo procentilių grafikas
Fig. M.25. The dependence of variable coefficient Gain of generation X on percentiles



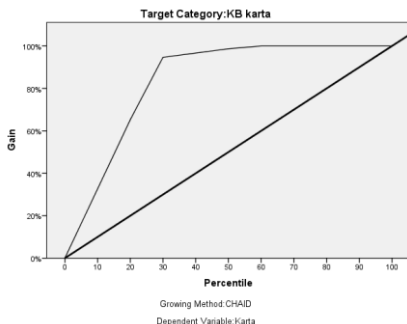
M.25 pav. X kartos kintamojo Indekso priklausomybės nuo procentilių grafikas
Fig. M.25. The dependence of variable coefficient Index of generation X on percentiles

²⁰ Augimo metodas: CHAID
 Priklausomas kintamasis: Karta

M.21 lentelė. Kūdikių bumo kartos duomenų skaičius mazge²¹

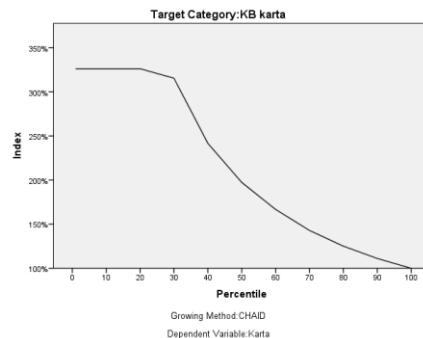
Table M.21. Gains for Nodes of generation baby boomers

| Mazgas | Mazgas | | Gain rodiklis | | Atsako rodiklis | Indekso rodiklis |
|--------|------------------|---------------------|------------------|---------------------|-----------------|------------------|
| | Duomenų skaičius | Procentinė išraiška | Duomenų skaičius | Procentinė išraiška | | |
| 1 | 2 | 3 | 4 | 5 | 6 | 7 |
| 7 | 22 | 28,9 % | 17 | 94,4 % | 77,3 % | 326,3 % |
| 3 | 21 | 27,6 % | 1 | 5,6 % | 4,8 % | 20,1 % |
| 9 | 15 | 19,7 % | 0 | 0,0 % | 0,0 % | 0,0 % |
| 10 | 7 | 9,2 % | 0 | 0,0 % | 0,0 % | 0,0 % |
| 6 | 6 | 7,9 % | 0 | 0,0 % | 0,0 % | 0,0 % |
| 8 | 5 | 6,6 % | 0 | 0,0 % | 0,0 % | 0,0 % |



M.27 pav. Kūdikių bumo kartos kintamojo koeficiento Gain priklausomybės nuo procentilių grafikas

Fig. M.27. The dependence of variable coefficient Gain of generation Baby Boomers on percentiles



M.28 pav. Kūdikių bumo kartos kintamojo Indekso priklausomybės nuo procentilių grafikas

Fig. M.28. The dependence of variable coefficient Index of generation Baby Boomers on percentiles

²¹ Augimo metodas: CHAID
Priklausomas kintamasis: Karta

M.22 lentelė. Modelio klasifikacija
Table M.22. Classification of model

| Tirti kintamieji | Numatytieji kintamieji | | | | |
|----------------------------|------------------------|---------|---------|----------|------------------|
| | Z karta | Y karta | X karta | KB karta | Teisingai, proc. |
| l | 2 | 3 | 4 | 5 | 6 |
| Z karta | 16 | 0 | 3 | 0 | 84,2 % |
| Y karta | 6 | 6 | 6 | 4 | 27,3 % |
| X karta | 0 | 0 | 16 | 1 | 94,1 % |
| KB karta | 0 | 0 | 1 | 17 | 94,4 % |
| Bendra procentinė išraiška | 28,9 % | 7,9 % | 34,2 % | 28,9 % | 72,4 % |

M.23 lentelė. Pirkimo etapo, internetinio marketingo komunikacijos priemonių Lietuvos ir užsienio Y kartų preferencijų SMM naršant užsienio e. komercijos svetainėje, CHAID modelio specifikacijų ir rezultatų apibendrinimas

Table M.23. The summary of CHAID model specifications and results of Lithuanian and foreign generation Y cohort preferences for internet marketing communication tools in purchasing stage browsing in a foreign e-commerce website

| Dalis | Charakteristika | Sprendimų medžio duomenys |
|--------------------|------------------------------------|--|
| 1 | 2 | 3 |
| Sudarymo nuostatos | Augimo metodas | CHAID |
| | Priklausomas kintamasis | Karta |
| | Nepriklausomi kintamieji | IP1, IP2, SF, MZ, EKS1, EKS2, EKS3, EKS4, EKS5, EKS6, EKS7, EKS8, EKS9, EKS10, EKS11, EKS12, EKS13, EKS14, EKS15, EP, KM, DUK, TNK, SM |
| | Validacija | Kryžminė validacija |
| | Maksimalus medžio gylis | 3 |
| | Minimali pagrindinių mazgų reikšmė | 10 |
| | Minimali atžalų mazgų reikšmė | 5 |
| Rezultatai | Ištraukti nepriklausomi kintamieji | KM |
| | Mazgų skaičius | 3 |
| | Galinių mazgų skaičius | 2 |
| | Gylis | 1 |